

**ЧИСЛЕННОЕ РЕШЕНИЕ СИСТЕМЫ ОДНОМЕРНЫХ
НЕСТАЦИОНАРНЫХ УРАВНЕНИЙ НАВЬЕ—СТОКСА
ДЛЯ СЖИМАЕМОГО ГАЗА**

В. И. ПОЛЕЖАЕВ

(Москва)

В многих задачах, встречающихся в современной газовой динамике, для учета диссипативных факторов — вязкости и теплопроводности газа — недостаточно приближений пограничного слоя и требуется решение полной системы уравнений Навье — Стокса. Сюда относятся, например, течения с большими продольными градиентами параметров, которые по порядку величины сравнимы или превышают поперечные градиенты (скакки температур, резкие развороты потока, скакки уплотнения и др.). В ряде случаев, например в течениях при низкой плотности, масштаб действия продольных градиентов становится значительным, что приводит к необходимости рассматривать структуру течения в окрестности больших градиентов. Постановка некоторых задач такого типа приводит к системе одномерных уравнений Навье — Стокса.

Приводится разностная схема для решения системы одномерных стационарных и нестационарных уравнений Навье — Стокса и даются примеры расчета структуры фронта стационарной ударной волны, нестационарного течения газа под действием внезапного нагрева одной из границ и нестационарного течения газа в окрестности распада начального разрыва. Решение стационарных задач осуществляется в результате установления при $t \rightarrow \infty$.

1. Система одномерных нестационарных уравнений Навье — Стокса для сжимаемого вязкого теплопроводного газа имеет вид

$$\begin{aligned} \rho \frac{du}{dt} &= \frac{\partial P_{xx}}{\partial x} = \rho X, & \frac{\partial \rho}{\partial t} + \frac{\partial \rho u}{\partial x} &= 0 \\ \rho \frac{de}{dt} &= \frac{\partial}{\partial x} k \frac{\partial T}{\partial x} + P_{xx} \frac{\partial u}{\partial x} & \left(e = \int_0^T c_v dT \right) \end{aligned} \quad (1.1)$$

Здесь e — внутренняя энергия, c_v — удельная теплоемкость при постоянном объеме, T — температура, ρ — плотность, u — продольная составляющая скорости, k — коэффициент теплопроводности, X — проекция внешних сил, P_{xx} — проекция тензора напряжений на ось x .

В предположении, что тензор напряжений линейно зависит от тензора скоростей деформации и при отсутствии вязкости приводится к тензору напряжений идеальной жидкости, имеем [1,2]

$$P_{xx} = -p + (\lambda + 2\mu) \frac{\partial u}{\partial x} \quad \text{или} \quad P_{xx} = -p + \mu^+ \frac{\partial u}{\partial x} \quad \left(\mu^+ = \frac{4}{3}\mu + \mu' \right) \quad \left(\mu' = \lambda + \frac{2}{3}\mu \right)$$

Здесь μ — коэффициент вязкости, λ — коэффициент второй вязкости, μ' — коэффициент объемной вязкости.

Для замыкания системы (1.1) задаются уравнения состояния и зависимости коэффициентов вязкости, теплопроводности и теплоемкости от температуры

$$\begin{aligned} p &= p(\rho, T), & \mu^+ &= \mu^+(T) \\ k &= k(T), & c_v &= c_v(T) \end{aligned} \quad (1.2)$$

В начальный момент времени $t = 0$ заданы распределения по пространственной координате всех неизвестных функций

$$u^0 = u(x, 0), \quad \rho^0 = \rho(x, 0), \quad T^0 = T(x, 0)$$

Границные условия предполагаются следующими.

1) На стенке: условия прилипания для продольной составляющей скорости (в этом случае плотность на стенке вычисляется из уравнения неразрывности), заданный тепловой режим (температура стенки T_w , тепловой поток $q_w = k_w (\partial T / \partial x)_w$ или закон теплообмена на стенке).

2) Асимптотические условия в невозмущенном потоке: заданы значения всех неизвестных V_1, ρ_1, T_1 . Численная реализация этих условий заключается в выборе такого размера области, что при приближении к границе значения вычисляемых величин u, ρ, T отличаются от соответствующих им асимптотических значений V_1, ρ_1, T_1 на заданную как угодно малую величину ε .

Приведем систему (1.1), (1.2) к безразмерному виду, вводя масштабы для скорости V_1 , плотности ρ_1 , температуры T_1 , длины L , времени $t_1 = L/V_1$, вязкости μ_1 , теплопроводности k_1 , теплоемкости c_{v_1} так, что безразмерные величины определяются следующим образом

$$\bar{u} = \frac{u}{V_1}, \quad \bar{\rho} = \frac{\rho}{\rho_1}, \quad \bar{T} = \frac{T}{T_1}, \quad \bar{x} = \frac{x}{L}, \quad \bar{\mu} = \frac{\mu}{\mu_1}, \quad \bar{k} = \frac{k}{k_1}, \quad c_v = \frac{c_v}{c_{v_1}}$$

При этом система (1.1) после очевидных преобразований примет исходный вид (черта над безразмерными величинами опущена).

$$\begin{aligned} \frac{\partial u}{\partial t} + u \frac{\partial u}{\partial x} &= -\frac{1}{\kappa \rho C_M^2} \frac{\partial p}{\partial x} + \frac{1}{\rho C_R} \frac{\partial}{\partial x} \mu^+ \frac{\partial u}{\partial x} + C_F, \quad \frac{\partial \rho}{\partial t} + \frac{\partial \rho u}{\partial x} = 0 \\ \frac{\partial T}{\partial t} + u \frac{\partial T}{\partial x} &= \frac{\kappa}{\rho c_v C_R P} \frac{\partial}{\partial x} k \frac{\partial T}{\partial x} - \frac{C_1}{\rho c_v} P \frac{\partial u}{\partial x} + \frac{\mu^+ C_e}{\rho c_v C_R} \left(\frac{\partial u}{\partial x} \right)^2 \end{aligned} \quad (1.3)$$

Здесь введены безразмерные комплексы, составленные из параметров, выбранных в качестве масштабов

$$\begin{aligned} \kappa &= \frac{c_{p_1}}{c_{v_1}}, \quad C_M = \frac{V_1}{\sqrt{\kappa p_1 / \rho_1}}, \quad C_R = \frac{V_1 L}{\mu_1} \rho_1, \quad C_F = \frac{X_L}{V_1^2}, \quad P = \frac{\mu_1 c_{p_1}}{k_1}, \\ C_1 &= \frac{p_1}{\rho_1 c_{v_1} T_1}, \quad C_e = \frac{V_1^2}{c_{v_1} T_1} \end{aligned} \quad (1.4)$$

Вопрос о том, какие из комплексов (1.4) будут определяющими критериями подобия, решается отдельно в каждой конкретной задаче (п. 3, 4, 5) с учетом безразмерных комплексов, полученных из начальных и граничных условий и дополнительных соотношений (1.2). Для совершенного газа с уравнением состояния $p = \rho R T$ (R — универсальная газовая постоянная) два последних комплекса в (1.4) можно представить из комбинаций κ и C_M

$$C_1 = \kappa - 1, \quad C_e = \kappa(\kappa - 1) \frac{V_1^2}{\kappa R T_1} = \kappa(\kappa - 1) C_M^2$$

Разностные схемы для системы одномерных нестационарных уравнений Навье — Стокса рассматривались в работах [3—5]. В недавней работе Крокко [6] исследуется схема, в которой аппроксимация исходной системы осуществляется только на стационарном режиме. В явных схемах для системы (1.3) диапазон изменения параметров сетки ограничивается

условиями устойчивости вида

$$\tau \sim \min \left\{ \frac{h}{|u| + 1/C_M}, C_R h^2 \right\}$$

Здесь h — шаг сетки по пространству, τ — по времени. Неявные схемы лишены этого недостатка, однако при их применении встречаются трудности из-за необходимости частого обращения матриц и хранения большого количества промежуточной информации в оперативной памяти вычислительной машины. Последнее обстоятельство особенно существенно при решении задач с двумя и более пространственными переменными.

Ниже применяется разностная схема, в которой инерционные и вязкостные члены в уравнении количества движения вынесены на верхний, а давление — на нижний слой по времени. Такая схема будет в некотором смысле промежуточной между явными и неявными схемами и позволяет свести решение всей системы к последовательному решению систем разностных уравнений с трехдиагональными матрицами. В серии экспериментальных расчетов установлено, что такая схема не имеет ограничения на параметры сетки типа $\tau \sim C_R h^2$ и удобна для исследования структуры стационарных и нестационарных течений сжимаемого газа с учетом вязкости и теплопроводности.

2. Введем пространственно-временную сетку с шагами h и τ так, что $x_i = ih$, $t_n = n\tau$ ($i = 1, \dots, N$; $n = 1, \dots, K$); значения функции в узлах сетки

$$\varphi(x_i, t_n) = \varphi(ih, n\tau) = \varphi_i^n$$

Исходная дифференциальная система (1.3) аппроксимируется следующей разностной схемой

$$(E - \tau L_u) u^{n+1} = u_i^n - \frac{\tau}{\kappa p_i^n C_M^2} \frac{p_{i+1}^n - p_{i-1}^n}{2h} + \tau C_F, (E - \tau L_\rho) \rho^{n+1} = \rho_i^n$$

$$(E - \tau L_T) T^{n+1} = T_i^n - \frac{p_i^{n+1} \tau}{\rho_i^{n+1} c_{vi}} \cdot C_1 \frac{u_{i+1}^{n+1} - u_{i-1}^{n+1}}{2h} + \frac{\mu^+ C_e \tau}{\rho_i^{n+1} c_{vi} C_R} \left(\frac{u_{i+1}^{n+1} - u_{i-1}^{n+1}}{2h} \right)^2$$

$$p_i^n = p(\rho_i^n, T_i^n), \quad c_{vi} = c_v(T_i^n)$$
(2.1)

Здесь E — единичный оператор. Разностные операторы L_u , L_ρ , L_T имеют вид

$$L_u u^{n+1} = \frac{1}{\rho_i^n C_R} \frac{\mu_{i+1/2}^+ u_{i+1}^{n+1} - (\mu_{i+1/2}^+ + \mu_{i-1/2}^+) u_i^{n+1} + \mu_{i-1/2}^+ u_{i-1}^{n+1}}{h^2} - u_i^n \frac{u_{i+1}^{n+1} - u_{i-1}^{n+1}}{2h}$$

$$L_\rho \rho^{n+1} = - \frac{u_{i-1}^{n+1} \rho_{i+1}^{n+1} - u_{i-1}^{n+1} \rho_{i-1}^{n+1}}{2h}$$

$$L_T T^{n+1} = \frac{\kappa}{\rho_i^{n+1} c_{vi} C_R P} \frac{k_{i+1/2} T_{i+1}^{n+1} - (k_{i+1/2} + k_{i-1/2}) T_i^{n+1} + k_{i-1/2} T_{i-1}^{n+1}}{h^2} - u_i^{n+1} \frac{T_{i+1}^{n+1} - T_{i-1}^{n+1}}{2h}$$
(2.2)

$$\mu_i^+ = \mu^+(T_i^n), \quad \mu_{i+1/2}^+ = \mu^+(T_{i+1/2}^n), \quad \mu_{i-1/2}^+ = \mu^+(T_{i-1/2}^n)$$

$$T_{i+1/2} = 1/2(T_i + T_{i+1}), \quad T_{i-1/2} = 1/2(T_i + T_{i-1})$$

Аналогично определяются $k_{i+1/2}$ и $k_{i-1/2}$.

Схема (2.1), (2.2) аппроксимирует систему нестационарных уравнений (1.3) на гладких функциях с порядком $O(\tau + h^2)$, а при достижении стационарного состояния (в счете на установление) — с порядком $O(h^2)$. Каждая из систем разностных уравнений, соответствующих строкам (2.1), имеет трехдиагональную матрицу и приводится к виду

$$a\varphi_{i+1} - b\varphi_i + c\varphi_{i-1} = f_i, \quad \varphi(0) = \varphi_1, \quad \varphi(1) = \varphi_N$$

и решается методом прогонки [7]. При расчете каждой строки из (2.1) используются входящие в коэффициенты и правые части величины, про-считанные на предыдущей строке. Для системы одномерных уравнений газовой динамики без учета вязкости и теплопроводности схема, имеющая аналогичную структуру, рассматривалась в работе [3], и было полу-чено, что схема устойчива в сверхзвуковом и неустойчива в дозвуковом течениях. В экспериментальных расчетах, проведенных в настоящей работе для системы (1.3) в диапазоне изменения параметров $0 \leq C_R \leq 10^3$, $0,3 \leq C_M \leq 10$, $0 \leq C_F \leq 1$ получено достаточное условие устойчивости

$$\tau \leq hC_M \quad (2.3)$$

точнее $\tau \leq f_1(C_R) hC_M$, где $f_1(C_R) \geq 1$ и растет при уменьшении C_R .

При весьма малых числах $C_M \sim 0,01$ схема неустойчива, однако это не существенно для рассматриваемых здесь задач.

Для контроля решения в процессе счета проверялись интегральные соотношения импульса, расхода и энергии, которые получаются из си-стемы (1.3) интегрированием по всему отрезку

$$\begin{aligned} \int_1^2 \left(\frac{\partial \rho u}{\partial t} - C_F \right) dx + \rho_2 u_2^2 - \rho_1 u_1^2 + \frac{1}{\kappa C_M^2} (p_2 - p_1) &= \frac{1}{C_R} (\tau_{w_2} - \tau_{w_1}) \\ \int_1^2 \frac{\partial \rho}{\partial t} dx + \rho_2 u_2 - \rho_1 u_1 &= 0 \\ \int_1^2 \left[\frac{\partial \rho e}{\partial t} + p C_1 \frac{\partial u}{\partial x} - \mu^+ \frac{C_e}{C_R} \left(\frac{\partial u}{\partial x} \right)^2 \right] dx + \rho_2 u_2 e_2 - \rho_1 u_1 e_1 &= \frac{\kappa}{C_R P} (q_{w_2} - q_{w_1}) \\ \left(\tau_w = \mu_w^+ \left(\frac{\partial u}{\partial x} \right)_w, \quad q_w = k_w \left(\frac{\partial T}{\partial x} \right)_w \right), \end{aligned} \quad (2.4)$$

3. Рассмотрим задачу о структуре фронта одномерной стационарной ударной волны. Пусть параметры газа перед волной имеют асимптотиче-ские значения V_1, ρ_1, T_1 , а за волной — V_2, ρ_2, T_2 . Будем предполагать, что газ совершенный, тогда параметры газа перед ударным фронтом и за ним связаны известными соотношениями [1,2]

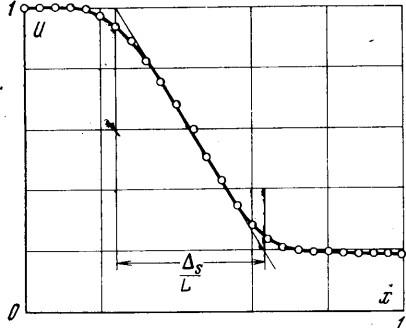
$$\begin{aligned} \frac{T_2}{T_1} &= 1 + \frac{2(\kappa-1)(\kappa M_1^2 + 1)}{(\kappa+1)^2 M_1^2} (M_1^2 - 1), \quad \frac{V_2}{V_1} = \frac{(\kappa-1) M_1^2 + 2}{(\kappa+1) M_1^2}, \quad \left(M_1 = \sqrt{\frac{V_1}{\kappa R T_1}} \right) \\ \rho_1 V_1 &= \rho_2 V_2 \end{aligned} \quad (3.2)$$

Здесь κ — показатель адиабаты, M_1 — число Маха в набегающем по-токе.

Для системы стационарных одномерных уравнений Навье — Стокса в работах Джилбарга и Паолуччио [8] и Мизеса [9] предложен метод рас-чета структуры фронта, основанный на решении системы обыкновенных дифференциальных уравнений в плоскости uT . Здесь для решения этой

задачи применяется метод установления в плоскости xt с заданием асимптотических значений параметров газа перед волной и за волной на отрезке конечной длины. Близкая к рассматриваемой здесь постановке задачи осуществляется также в работе Крокко [6] для одномерного течения в расширяющемся сопле.

В дальнейшем предполагается, что коэффициент вязкости зависит от температуры по закону Сатерленда



Фиг. 1

причем $\mu' = 0$ и $\mu^+ = \frac{4}{3}\mu$, $C^+ = C/T_1$, где C — константа Сатерленда. Далее, при $P = \mu c_p/k = \text{const}$ и $x, c_v = \text{const}$ зависимость вида (3.3) справедлива и для коэффициента теплопроводности $k(T)$. В качестве масштабов для неизвестных и коэффициентов μ и k возьмем их значения в набегающем потоке. Полная система определяющих критериев подобия в такой постановке задачи состоит из чисел $M_1, \chi, P, C/T_1$.

Начало отсчета и масштаб длины L не заданы условиями задачи, поэтому число C_R не является определяющим критерием подобия.

Воспользуемся этим обстоятельством и введем отрезок длины L , внутри которого помещается весь ударный фронт (фиг. 1) так, чтобы значения u, ρ, T вблизи границы отличались от асимптотических значений на заданную величину ε . Если принять этот отрезок за масштаб длины, то тем самым в схеме (2.1)–(2.2) вводится масштабный параметр $C_R = V_1 L \rho_1 / \mu_1$ число Рейнольдса, отнесенное к масштабу длины L и параметрам в набегающем потоке.

Примем определение толщины волны по Прандтлю $\Delta_s = (V_1 - V_2)/(du/dx)_{\max}$

Из расчетов непосредственно определяется толщина фронта Δ_s , отнесенная к выбранному масштабу (в нашей нормировке)

$$\frac{\Delta_s}{L} = \frac{1 - u_2}{[(u_{i+1} - u_i)/h]_{\max}} \quad \left(u_2 = \frac{V_2}{V_1} \right) \quad (i = 1, \dots, N)$$

Отношение масштаба длины и толщины волны к длине свободного пробега в набегающем потоке можно представить в виде

$$\frac{L}{L_s} = 0.499 \sqrt{\frac{8}{\pi \kappa}} \frac{C_R}{M_1}, \quad \frac{\Delta_s}{L_s} = \frac{\Delta_s}{L} \frac{L}{L_s} \quad \left(L_s = \frac{\mu_1}{0.499 \rho_1} \sqrt{\frac{8 R T_1}{\pi}} \right)$$

Здесь L_s — длина свободного пробега в набегающем потоке.

Расчеты проводились по разностной схеме (2.1)–(2.2), причем уравнение неразрывности было взято в виде (3.2). Начальные данные при расчете на установление задавались в виде ступеньки

$$u^\circ = 1, \quad T^\circ = 1 \quad (0 \leq x \leq 1/2)$$

$$u^\circ = u_2 = V_2 / V_1, \quad T^\circ = T_2 / T_1 \quad (1/2 < x \leq 1)$$

При таких начальных данных фронт волны в процессе итераций перемещается в сторону набегающего потока и «размазывается» на сетке, что приводит к установлению характерного несимметричного профиля (фиг. 1).

На сетке $N = 100$, $h = 1/99$, $\tau = 10h$ установление стационарного решения достигалось, как правило, за 40–60 итераций, причем на границах сетки выполнялось условие

$$|\Phi_i - \Phi_{i-1}| < \varepsilon \quad (i = 2, N)$$

где $\varepsilon = 10^{-4}$ для профиля температуры и $\varepsilon = 10^{-5}$ — для профиля скорости. При числе $P = 0.75$ стационарная система имеет интеграл энергии [2]

$$\frac{u_i^2}{2} + \frac{T_i}{(\kappa - 1) M_1^2} = \text{const} \quad (3.4)$$

Это соотношение использовалось для контроля точности счета в узлах сетки в нормированном виде (константа в правой части определяется по параметрам набегающего потока)

$$B(x) = \left[\frac{1}{2} + \frac{1}{(\kappa - 1) M_1^2} \right]^{-1} \left[\frac{u_i^2}{2} + \frac{T_i}{(\kappa - 1) M_1^2} \right] = 1 \quad (3.5)$$

Наибольшее отклонение величины $B(x)$ от единицы в узлах разностной сетки на стационарном режиме составляло не более 0.1%.

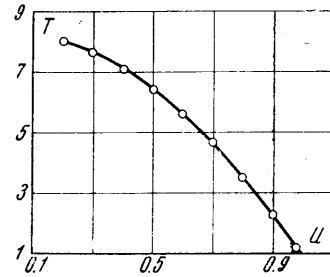
Пример расчета распределения скорости по перек ударного фронта приведен на фиг. 1 ($M_1 = 6$, $\kappa = 1.405$, $P = 0.75$, $C/T_1 = 2.64$). На фиг. 2 дается сравнение численного решения (точки) с точным (3.5) (сплошная кривая) при $P = 0.75$. Масштабный параметр C_R в этом примере равен 70, $L/L_s = 7.84$, $\Delta_s/L_s = 0.382$ и $\Delta_s/L_s = 2.99$

В серии расчетов, выполненных изложенным здесь методом, исследовалось влияние параметров M_1 , κ , P , C/T_1 на структуру фронта стационарной ударной волны в диапазоне чисел $M_1 = 1.1 \div 14.5$, $\kappa = 1.33 \div 1.66$, $P = 0.5 \div 1$, $C/T_1 = 0 \div 10$. Толщина волны Δ_s/L_s падает с ростом числа M_1 , причем при росте C/T_1 (что может означать, например, уменьшение температуры набегающего потока) падение толщины волны с ростом числа M_1 замедляется. При $C/T_1 = 2.64$ (что соответствует температуре набегающего потока для воздуха $T_1 = 42^\circ\text{K}$ при $C = 110.4^\circ\text{K}$) на кривой Δ_s/L_s (M_1) имеется минимум в области $M_1 \sim 4$ с существенным возрастанием толщины волны в области больших чисел M_1 .

Влияние параметра C/T_1 исследовано более подробно при числе $M_1 = 6$. При $C/T_1 = 0$ из закона вязкости (3.3) следует степенной закон $\mu = T^n$ с показателем степени $n = 1/2$. Результаты расчета толщины фронта при этом значении n и числе $P = 0.75$ хорошо согласуются с результатами Мордухова и Либби [10]. При $C/T_1 \rightarrow \infty$ толщина фронта стремится к значению, соответствующему степенному закону изменения вязкости с показателем степени $n = 1.5$ и во всем диапазоне $C/T_1 = 0 \div \infty$ — увеличивается в шесть раз. При $C/T_1 \rightarrow \infty$ максимальное значение производной скорости du/dx заметно перемещается по фронту волны в сторону набегающего потока. При изменении показателя адиабаты κ от 1.33 (трехатомный газ) до 1.66 (одноатомный газ) при $M_1 = 6$ толщина волны увеличивается в два раза. Число Прандтля сравнительно слабо влияет на толщину фронта: при $M_1 = 6$, $\kappa = 1.405$, $C/T_1 = 2.64$ в диапазоне $P = 0.5 \div 1$ толщина фронта уменьшается по линейному закону примерно на 20%. Этот результат согласуется с расчетами, выполненными Мизесом [9].

4. Пусть в газе с постоянной плотностью ρ° и температурой $T^\circ = T_{w_1}$, заключенном в замкнутой области между двумя стенками, температура на одной из стенок внезапно повышается до T_{w_2} и в дальнейшем остается неизменной. Определим распространение тепла и движение газа в последующие моменты времени.

Будем рассматривать совершенный газ с коэффициентами вязкости и теплопроводности, зависящими от температуры по формуле (3.3). Движе-



Фиг. 2

ние газа и распространение тепла в газе, заключенном в области длины L , определяется следующими размерными величинами:

$$x, t, \mu, k, c_v, R, \rho^\circ, T^\circ = T_{w_1}, T_{w_2}, L, C \quad (4.1)$$

где независимыми являются четыре размерности: длины, времени, массы и температуры. Из перечисленных 11 размерных величин, согласно π -теореме теории размерностей [14], можно составить семь независимых безразмерных комбинаций, которые выберем в виде

$$\frac{T_{w_2}}{T_{w_1}}, C_R = \frac{\sqrt{\kappa RT_{w_1} L \rho_1}}{\mu_1}, \kappa = \frac{c_p}{c_v}, P = \frac{\mu_1 c_p}{k_1}, \bar{x} = \frac{x}{L}, \bar{t} = \frac{t \sqrt{\kappa RT_{w_1}}}{L}, \frac{C}{T_{w_1}} \quad (4.2)$$

В разностной схеме (2.1)–(2.2) эти безразмерные комбинации, являющиеся определяющими критериями подобия, соответствуют системе масштабных комплексов (1.4), если принять за масштабы значения параметров при температуре $T_{w_1} = T^\circ, \rho_1 = \rho^\circ$, а за масштаб скорости — скорость звука при температуре $T_{w_1} = T^\circ (C_M = 1, C_F = 0, C_1 = \kappa - 1, C_e = \kappa (\kappa - 1))$. Сюда добавляются также критерии T_{w_2}/T_{w_1} и C/T_{w_1} , появляющиеся при рассмотрении граничных условий и закона изменения вязкости и теплопроводности от температуры.

Весь процесс распространения тепла и движения газа в замкнутой области между двумя стенками вплоть до полного установления начальных возмущений разделяется на три основные части.

1. Развитие и распространение волн температуры, скорости, плотности, давления до момента столкновения их с противоположной стенкой можно рассматривать отдельно как процесс распространения волн в полу бесконечную среду. В этом случае, как и в п. 3, характеристическая длина L не задана условиями задачи, и C_R — масштабный параметр, который исключается из системы (4.2), если перейти от координат \bar{x}, \bar{t} к координатам

$$x^* = \bar{x} C_R = \frac{x \sqrt{\kappa RT_{w_1} \rho_1}}{\mu_1}, \quad t^* = \bar{t} C_R = \frac{t \sqrt{\kappa RT_{w_1} \rho_1}}{\mu_1}$$

2. Взаимодействие волн со стенками определяется системой критериев (4.2).

3. Стационарное состояние, при котором газ неподвижен, давление и тепловой поток постоянны, а плотность обратно пропорциональна температуре

$$\frac{\partial p}{\partial x} = 0, \quad \frac{\partial}{\partial x} k \frac{\partial T}{\partial x} = 0$$

$$p = \rho R T, \quad T(0) = T_{w_2}, \quad T(L) = T_{w_1} \quad (4.3)$$

Очевидно, стационарное состояние определяется только перепадом температур на стенках T_{w_2}/T_{w_1} и законом изменения теплопроводности газа от температуры. Расчеты этой задачи проведены по схеме, изложенной в п. 2, при начальных условиях

$$u^\circ = u(x, 0) = 0, \quad \rho(x, 0) = \rho^\circ, \quad T(x, 0) = T^\circ = T_{w_1}, \quad 0 < x \leq L \\ T(0, 0) = T_{w_2} \quad (4.4)$$

и граничных условиях

$$u(0, t) = u(L, t) = 0, \quad T(0, t) = T_{w_2}, \quad T(L, t) = T_{w_1} = T^\circ \quad (4.5)$$

Плотность газа на границе рассчитывалась из уравнения неразрывности по формуле первого порядка ($i = 1$):

$$\rho_1^{n+1} = \rho_1^n - \frac{\tau}{h} \rho_2^n u_2^{n+1} \quad (4.6)$$

аналогично при $i = N$

Развитие и перемещение волн температуры, скорости, плотности и давления в различные моменты времени до момента столкновения с противоположной стенкой иллюстрируется фиг. 3—6 ($1 - t^* = 1.515$, $2 - t^* = 3.03$, $3 - t^* = 4.545$, $4 - t^* = 6.06$, $5 - t^* = 7.575$, $6 - t^* = 9.09$). Здесь отношение температур $T_{w_2}/T_{w_1} = 10$, $\chi = 1.405$, $P = 0.75$, $C/T_{w_1} = 0.385$, параметры сетки: $h = 1/99$, $\tau = 0.1h$, масштабный параметр $C_R = 30$.

Рассмотрим особенности этого процесса в координатах x^* , t^* . (Безразмерная координата

$$x^* = x \sqrt{\kappa R T_{w_1}} \rho_1 / \mu_1$$

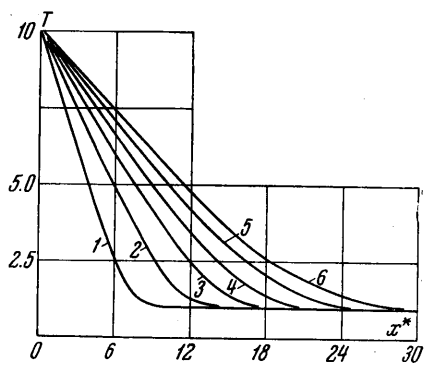
есть местное число Рейнольдса, отнесенное к скорости звука и параметрам невозмущенного газа. Можно дать, как и в п. 3, определение этой величины через длину свободного пробега в невозмущенном газе

$$x^* \sim x/L_s \quad \text{при } L_s \sim \mu_1/\rho_1 \sqrt{\kappa R T_{w_1}}$$

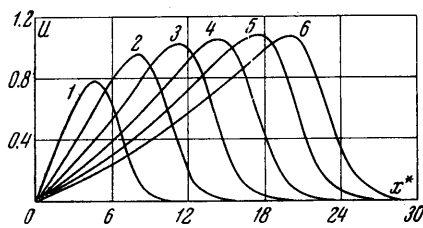
При $t^* \ll 1$ в окрестности нагретой стенки имеются значительные градиенты температуры и давления, что вызывает рост возмущений скорости и плотности газа.

При $t^* \sim 1$ фронт волны давления отходит от стенки, и при $t^* \sim 1.5-3$ давление у стенки выравнивается с образованием при $x^* = 0-6$ области пониженной плотности. Профили скорости, плотности и давления (фиг. 4—6) иллюстрируют структуру и масштаб областей сжатия и разрежения. Ширина переднего фронта волны Δx^* в диапазоне $t^* = 1-10$ равна 5—7 и в дальнейшем сравнительно мало меняется в диапазоне $t^* = 30-40$, в то время как ширина области разрежения возрастает при удалении волны от стенки.

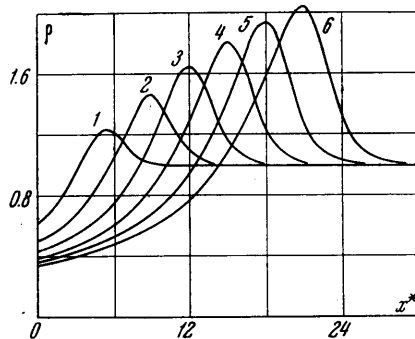
На фиг. 7 приведено сравнение профиля температурной волны $T(x)$ при $t^* = 1.515$ в движущемся газе и неподвижном (1 — движущийся, 2 — неподвижный). Последний случай рассматривался в работах [12, 13]; профиль температуры в неподвижном газе (фиг. 7) получен при помощи блока основной программы, реализующего счет только уравнения энергии ($\rho = \rho^0 = 1$ и $u = 0$ на всем отрезке). Из-за пониженной плотности в области сильных градиентов температуры у стенки профиль температур в движущемся газе отстает от профиля температуры в неподвижном газе, и тепловой по-



Фиг. 3



Фиг. 4



Фиг. 5

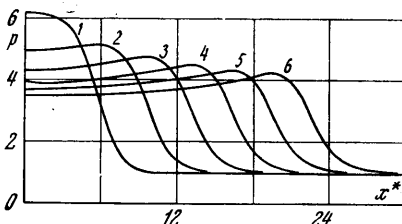
ток на нагретой стенке в движущемся газе выше, чем в неподвижном.

Сравнение результатов расчета с шагом по пространственной координате, уменьшенной вдвое, и с шагом по времени, уменьшенным в 10 раз, показало достаточно хорошую аппроксимацию решения на сетке. В момент времени $t^* = 10.1$ невязки разностных аналогов интегральных соотношений импульса, расхода и энергии (2.4) по отношению к суммарному импульсу $\rho_1 u_1 + \dots + \rho_N u_N$, суммарной массе $\rho_1 + \dots + \rho_N$, суммарной энергии $\rho_1 e_1 + \dots + \rho_N e_N$ равны соответственно 0.3, 0.4, 0.1%. Эти результаты показывают, что на гладких функциях разностная схема (2.1) — (2.2), не являющаяся дивергентной, тем не менее, достаточно хорошо удовлетворяет законам сохранения.

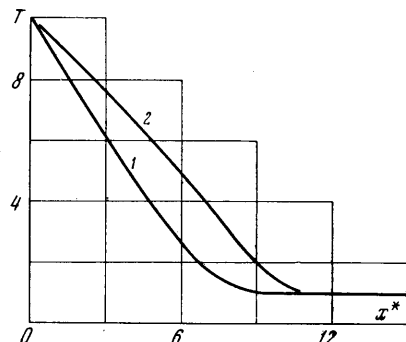
При взаимодействии волн с противоположной стенкой существенно, в какой стадии развития поток встречает стенку и характерным является число Рейнольдса, отнесенное к расстоянию между стенками

$$C_R = \frac{L \rho_1 \sqrt{\kappa R T_{w_1}}}{\mu_1}$$

а весь процесс должен рассматриваться в координатах \bar{x}, \bar{t} . В результате сжатия при столкновении со стенкой давление и тепловой поток становятся большими, чем в стационарном состоянии. При меньших C_R волна давления раньше достигает стенки, и при столкновении со стенкой давление и тепловой поток на стенке выше, чем при больших C_R . В дальнейшем при развитии возвратного течения давление и тепловой поток становятся ниже стационарного значения и выходят на стационарный режим с уменьшением амплитуды колебания по мере затухания колебаний газа между стенками.



Фиг. 6



Фиг. 7

Расчет на установление проводился с шагом $\tau = h$ (при этом детали нестационарного течения ухватываются значительно грубо). На сетке $h = 1/99$, $\tau = h$ при $C_R = 30$ установление стационарного режима (4.3) с точностью 0.1% по плотности и давлению и 0.01–0.02% по температуре достигалось после 650–700 шагов по времени. В конце указанного временного отрезка максимальная амплитуда колебания скорости $|u_{\max}|$ равна $2 \cdot 10^{-4}$. Формирование стационарного режима с точностью 1–2% наступает значительно раньше, после 300–350 шагов. Изменение по времени давления p_{w_1} на противоположной стенке показано на фиг. 8.

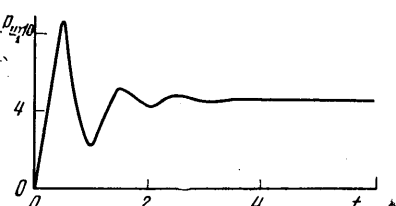
5. Пусть в некоторой точке задан начальный разрыв скорости, плотности, температуры (и соответственно — давления, исходя из уравнения состояния совершенного газа). Среда предполагается однородной, газ по обе стороны начального разрыва имеет постоянные параметры. Будем,

как и раньше, рассматривать отрезок конечной длины L , который введем в качестве масштаба длины.

Начальные условия

$$\begin{aligned} u(x, 0) &= V_2, \quad \rho(x, 0) = \rho_2 \\ T(x, 0) &= T_2 \quad (0 \leq x < x_0) \end{aligned} \quad (5.1)$$

$$\begin{aligned} u(x, 0) &= V_1, \quad \rho(x, 0) = \rho_1 \\ T(x, 0) &= T_1 \quad (x_0 \leq x \leq L) \end{aligned}$$



Фиг. 8

Границные условия — асимптотические значения V_2, ρ_2, T_2 и V_1, ρ_1, T_1 по обе стороны начального разрыва; предположения о коэффициентах вязкости и теплопроводности сохраняются прежними (3.3).

Рассуждая по аналогии с п. 4, получим, что решение определяется следующими безразмерными критериями:

$$x^*, t^*, \frac{T_2}{T_1}, \frac{V_2}{V_1}, \frac{\rho_2}{\rho_1}, \frac{V_1}{\sqrt{\kappa R T_1}}, \kappa, P, \frac{C}{T_1} \left(x^* = \frac{x V_1 \rho_1}{\mu_1}, t^* = \frac{t V_1^2 \rho_1}{\mu_1} \right) \quad (5.2)$$

В разностной схеме (2.1)–(2.2) критерии (5.2) соответствуют безразмерным комплексам (1.4) с добавлением критериев граничных условий T_2/T_1 , V_2/V_1 , ρ_2/ρ_1 и параметра C/T_1 , если считать, что безразмерные величины отнесены к значениям

$$V_1, \rho_1, T_1 \quad \left(C_M = \frac{V_1}{\sqrt{\kappa R T_1}}, \quad C_F := 0, \quad C_1 = \kappa - 1, \quad C_e = \kappa(\kappa - 1) C_M^2 \right)$$

а C_R некоторый масштабный параметр.

На фиг. 9 приводятся результаты расчета распределения давления p (x^*) в различные моменты времени t^* для частного случая течения, вызванного распадом начального разрыва температур (и давлений) в неподвижном газе

$$\frac{p_2}{p_1} = \frac{T_2}{T_1} = 2 \quad \rho_2/\rho_1 = 1, \quad V_2 = V_1 = 0$$

В этом случае система определяющих критериев состоит из чисел

$$\frac{T_2}{T_1}, \kappa, P, x^*, t^* \quad \left(x^* = \frac{\sqrt{\kappa R T_1}}{\mu_1} \rho_1, \quad t^* = \frac{t \kappa R T_1}{\mu_1} \rho_1 \right) \quad (5.3)$$

Здесь $\kappa = 1.405$, $P = 0.75$, $\mu, k = \text{const}$.

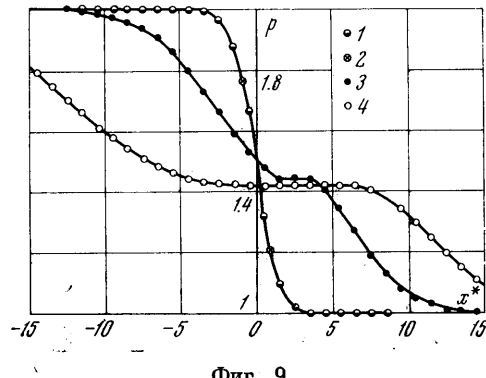
Этот расчет выполнен на сетке

$$N = 100, h = 1/99, \tau = 0.1h, C_R = 100$$

Все моменты времени вплоть до $t^* \sim 10$ асимптотические граничные условия на концах отрезка L выполнялись с точностью $\epsilon \leq 10^{-4}$. Результаты расчета с шагами по времени $\tau = 0.1h$ и $\tau = 0.01h$ хорошо согласуются между собой.

Аналогичная задача рассматривалась в работе [14] в предположении, что течение в окрестности распада начального разрыва можно разделить на невязкое и вязкое типа пограничного слоя. В работе [15] анализируется течение в окрестности распада разрыва путем разложения решений системы уравнений Навье – Стокса в ряды при малых моментах времени t . Из результатов расчета (фиг. 9) (точки 1, 2 — $t^* = 0.404$, 3 — $t^* = 4.04$, 4 — $t^* = 9.09$) следует, что при малых $t^* \leq 0.5$ (эти значения соответствуют начальному перепаду температур $T_2/T_1 = p_2/p_1 = 2$) возмущения полей скорости и плотности, вызванные начальным разрывом температур (давлений), малы, и в окрестности распада начального разрыва имеется значительный градиент температур (и давлений). Для оценки точности численного решения при малых t^* проводились расчеты при различных масштабах $C_R = 100$ и $C_R = 10$. Эти результаты нанесены на фиг. 9 и удовлетворительно согласуются между собой ($1 - C_R = 100$, $2 - C_R = 10$). В дальнейшем в окрестности распада разрыва образуется область с постоянным давлением, имеющая при $t^* \sim 4$ протяженность $\Delta x^* \sim 2$ и расширяющаяся с течением времени.

При $t^* \sim 10$ протяженность области постоянного давления составляет $\Delta x^* \sim 8$ и заметно формирование перемещающейся вправо волны сжатия



Фиг. 9

тия и влево — волны разрежения. В момент времени $t^* = 10.1$ невязки интегральных соотношений импульса, расхода и энергии (2.4) по отношению к суммарному импульсу $\rho_1 u_1 + \dots + \rho_N u_N$, суммарной массе $\rho_1 + \dots + \rho_N$, суммарной энергии $\rho_1 e_1 + \dots + \rho_N e_N$ равны соответственно 0.86, 0.01 и 0.09 %.

Несколько повышенная величина относительной невязки импульса вызвана малой абсолютной величиной суммарного импульса в рассматриваемый момент времени.

Автор благодарит В. Я. Лихушина и В. С. Авдуевского за внимание к работе и полезные советы при ее выполнении.

Поступило 13.VI.66

ЛИТЕРАТУРА

1. Ко chin Н. Е., К и б е л ь И. А., Р о з е В. Н. Теоретическая гидромеханика, ч. II. Физматгиз, 1963.
2. С е р и н Дж. Математические основы классической механики жидкостей. Изд. иностр. лит., 1963.
3. G a r y J. On certain finite difference schemes for hyperbolic systems. Math. of Comput., v. 18, No. 85, 1964.
4. F i l l e r L. L u d l o f f H. Stability analysis and integration of viscous equation of motion. Math. Comput., 1961, 15, No. 75.
5. Б р а и л о в с к а я И. Ю. Разностная схема для численного решения двумерных уравнений Навье — Стокса для сжимаемого газа. Докл. АН СССР, 1965, т. 160, № 5.
6. C r o c c o L. A suggestion for numerical solution of the steady Navier Stokes equations. AIAA Journal, 1965, vol. 3, No. 10.
7. Г о д у н о в С. К., Р я б е н ь к и й В. С. Введение в теорию разностных схем. Физматгиз, 1962 г.
8. G i l b a r g D., P a o l u c c i o D. The structure of shock wave in continuum theory of fluids. J. Rational Mech. and Analysis, 1953, vol. 2, 617.
9. M i z e s R. Математическая теория течений сжимаемой жидкости. Изд. иностр. лит., 1961.
10. M o r d u c h o w M., L i b b y P. On a complete solution of the one dimensional flow equations of a viscous, heat conducting, compressible gas. J. Aero Sci., 1949, vol. 16, No. 11.
11. С е д о в Л. И. Методы подобия и размерности в механике. Физматгиз, 1965.
12. З е л ь д о в и ч Я. Б., Р а й з е р Ю. П. Физика ударных волн и высокотемпературных гидродинамических явлений. Физматгиз, 1965.
13. С а м а р с к и й А. А., С о б о л ь И. М. Примеры численного расчета температурных волн. Ж. вычисл. матем. и матем. физ., 1963, т. 3, № 4.
14. G o l d s w o r t h y F. A. The structure of a contact region with application to the reflection of a shock from a heat conducting wall. J. Fluid Mech., 1959, vol. 5, No. 1.
15. Д е м ъ я н о в Ю. А., К и р е е в В. Т. К анализу одномерных нестационарных течений газа с учетом теплопроводности и вязкости. Изв. АН СССР, Механика, 1965, № 2.